

OPAx596 具有多路复用器友好型输入的高电压 (85V)、低功耗 (420 μ A)、高压摆率 (100V/ μ s) 功率放大器

1 特性

- 高压摆率：100V/ μ s
- 低功耗：420 μ A
- 宽电源电压范围：
 - ± 4 V 至 ± 42.5 V
 - 8V 至 85V
- 多路复用器友好型输入
- 轨到轨输入和输出
- 增益带宽：3.75MHz
- 低噪声：12.8nV/ $\sqrt{\text{Hz}}$
- 低输入偏置电流：5pA
- 高输出负载驱动： $I_O \pm 30$ mA
- 宽温度范围： -40°C 至 $+125^\circ\text{C}$
- 业界通用小型封装：
 - DBV (5 引脚 SOT-23)
 - DGK (8 引脚 VSSOP)

2 应用

- 半导体测试
- LCD 测试
- 可编程直流电源
- CT 和 PET 扫描仪
- 源测量单元 (SMU)
- 光学模块
- 实验室和现场仪表

3 说明

OPA596 和 OPA2596 (OPAx596) 是高电压 (85V)、高压摆率 (100V/ μ s)、低功耗 (420 μ A)、单位增益稳定运算放大器。

OPAx596 通过高增益配置提高系统的输出电压，可实现下一代高压系统 (例如半导体测试中的输出负载驱动器以及数字电源)。低功耗和业界通用小型封装使该器件可用于尺寸受限的高密度系统，同时降低系统的热管理要求。

凭借专有设计技术，OPAx596 能够实现非常高的压摆率，同时功耗极低，可改善大信号稳定时间并更大幅度地提高有效大信号带宽。与多路复用应用中的传统输入相比，这些器件还提供多路复用器友好型输入，可实现较大的差分电压 (高达 85V) 并有助于改善稳定行为。

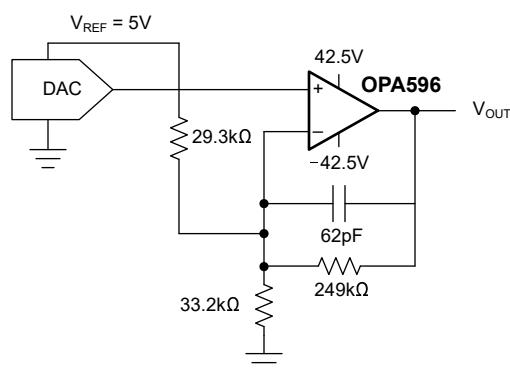
OPAx596 采用业界通用封装，工作温度范围为 -40°C 至 $+125^\circ\text{C}$ 。

器件信息

器件型号	通道数	封装 ⁽¹⁾
OPA596	单	DBV (SOT-23, 5)
OPA2596 ⁽²⁾	双	DGK (VSSOP, 8)

(1) 有关更多信息，请参阅节 10。

(2) 预发布信息。



具有增益的 DAC 输出缓冲器



内容

1 特性	1	7 应用和实施	10
2 应用	1	7.1 应用信息.....	10
3 说明	1	7.2 典型应用.....	10
4 引脚配置和功能	3	7.3 电源相关建议.....	15
5 规格	4	7.4 布局.....	15
5.1 绝对最大额定值.....	4	8 器件和文档支持	18
5.2 ESD 等级.....	4	8.1 接收文档更新通知.....	18
5.3 建议运行条件.....	4	8.2 支持资源.....	18
5.4 热性能信息.....	4	8.3 商标.....	18
5.5 电气特性.....	5	8.4 静电放电警告.....	18
6 详细说明	7	8.5 术语表.....	18
6.1 概述.....	7	9 修订历史记录	18
6.2 功能方框图.....	7	10 机械、封装和可订购信息	18
6.3 特性说明.....	8	10.1 卷带包装信息.....	19
6.4 器件功能模式.....	9		

4 引脚配置和功能

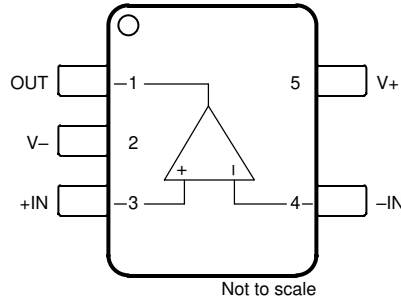


图 4-1. OPA596 DBV 封装，5 引脚 SOT-23 (顶视图)

表 4-1. 引脚功能：OPA596

引脚		类型	说明
名称	编号		
+IN	3	输入	同相输入
-IN	4	输入	反相输入
OUT	1	输出	输出
V+	5	电源	正 (最高) 电源
V-	2	电源	负 (最低) 电源

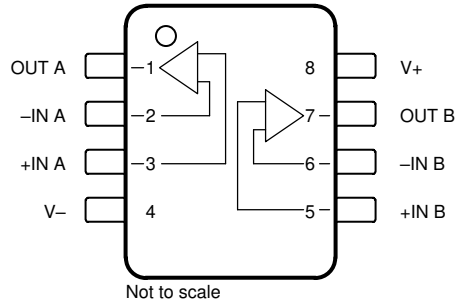


图 4-2. OPA2596 DGK 封装，8 引脚 VSSOP (顶视图)

表 4-2. 引脚功能：OPA2596

引脚		类型	说明
名称	编号		
+IN A	3	输入	同相输入，通道 A
+IN B	5	输入	同相输入，通道 B
-IN A	2	输入	反相输入，通道 A
-IN B	6	输入	反相输入，通道 B
OUT A	1	输出	输出，通道 A
OUT B	7	输出	输出，通道 B
V+	8	电源	正 (最高) 电源
V-	4	电源	负 (最低) 电源

5 规格

5.1 绝对最大额定值

在自然通风条件下的工作温度范围内测得 (除非另有说明) ⁽¹⁾

		最小值	最大值	单位
V _S	电源电压	双电源	±46.5	V
		单电源, V _S = (V+) - (V-)	93	
	信号输入引脚电压 ⁽²⁾	共模	(V-) - 0.3 (V+) + 0.3	V
		差分	(V+) - (V-)	
	输入电流, 所有引脚 ⁽²⁾		±10	mA
I _{SC}	输出短路 ⁽³⁾		持续	
T _J	结温		150	°C
T _{STG}	贮存温度	-65	150	°C

- (1) 超出绝对最大额定值运行可能会对器件造成永久损坏。绝对最大额定值并不表示器件在这些条件下或在建议运行条件以外的任何其他条件下能够正常运行。如果超出建议运行条件但在绝对最大额定值范围内使用, 器件可能不会完全正常运行, 这可能影响器件的可靠性、功能和性能并缩短器件寿命。
- (2) 输入端子被二极管钳制至电源轨。对于摆幅可能超过电源轨 0.3V 的输入信号, 必须将其电流限制为 10mA 或者更低。
- (3) 接地短路。

5.2 ESD 等级

		值	单位
V _(ESD)	静电放电	人体放电模型 (HBM), 符合 ANSI/ESDA/JEDEC JS-001 标准 ⁽¹⁾	±1500
		充电器件模型 (CDM), 符合 ANSI/ESDA/JEDEC JS-002 标准 ⁽²⁾	±500

- (1) JEDEC 文档 JEP155 指出: 500V HBM 时能够在标准 ESD 控制流程下安全生产。
- (2) JEDEC 文档 JEP157 指出: 250V CDM 时能够在标准 ESD 控制流程下安全生产。

5.3 建议运行条件

在自然通风条件下的工作温度范围内测得 (除非另有说明)

		最小值	标称值	最大值	单位
V _S	电源电压	双电源	±4	±42.5	V
		单电源	8	85	
T _A	环境温度	-40		125	°C

5.4 热性能信息

热指标 ⁽¹⁾		OPA596	OPA2596	单位
		DBV (SOT-23)	DGK (VSSOP)	
		5 引脚	8 引脚	
R _{θJA}	结至环境热阻	165.4	143.6	°C/W
R _{θJC(top)}	结至外壳 (顶部) 热阻	99.1	50.4	°C/W
R _{θJB}	结至电路板热阻	64.5	78.7	°C/W
ψ _{JT}	结至顶部特征参数	42.6	3.0	°C/W
ψ _{JB}	结至电路板特征参数	64.2	77.5	°C/W
R _{θJC(bot)}	结至外壳 (底部) 热阻	不适用	不适用	°C/W

- (1) 有关新旧热指标的更多信息, 请参阅 [半导体和 IC 封装热指标](#) 应用报告。

5.5 电气特性

在 $V_S = 85V (\pm 42.5V)$ 、 $T_A = 25^\circ C$ 、 $R_L = 10k\Omega$ (连接至 $1/2 V_S$) 和 $V_{CM} = V_{OUT} = 1/2 V_S$ 时测得 (除非另有说明)

参数		测试条件	最小值	典型值	最大值	单位
失调电压						
V_{OS}	输入失调电压			± 0.2	± 1	mV
dV_{OS}/dT	输入失调电压温漂	$T_A = -40^\circ C$ 至 $+125^\circ C$		± 1	± 6	$\mu V/^\circ C$
PSRR	电源抑制比	$8V \leq V_S \leq 85V$		± 1	± 5	$\mu V/V$
输入偏置电流						
I_B	输入偏置电流			± 5	± 10	pA
		$T_A = -40^\circ C$ 至 $+85^\circ C$			± 50	
		$T_A = -40^\circ C$ 至 $+125^\circ C$				± 1
I_{OS}	输入失调电流			± 5	± 10	pA
		$T_A = -40^\circ C$ 至 $+85^\circ C$				
		$T_A = -40^\circ C$ 至 $+125^\circ C$				± 1
噪声						
	输入电压噪声	$f = 0.1Hz$ 至 $10Hz$		1.4		μV_{PP}
e_n	输入电压噪声密度	$f = 100Hz$		17.8		nV/\sqrt{Hz}
		$f = 1kHz$		12.9		
		$f = 10kHz$		12.8		
i_n	电流噪声密度	$f = 1kHz$		10		fA/\sqrt{Hz}
输入电压						
V_{CM}	共模电压	线性运算	$(V_-) - 0.1$		$(V_+) - 3.5$	V
CMRR	共模抑制	$(V_-) \leq V_{CM} \leq (V_+) - 3.5V$		126	140	dB
			$T_A = -40^\circ C$ 至 $+125^\circ C$	124	140	
输入阻抗						
	差分			$100 \parallel 2.5$		$M\Omega \parallel pF$
	共模			$10 \parallel 5.5$		$G\Omega \parallel pF$
开环增益						
A_{OL}	开环电压增益	$(V_-) + 1V < V_O < (V_+) - 1.5V$, $R_L = 10k\Omega$ (连接至 $1/2 V_S$)	$T_A = -40^\circ C$ 至 $+125^\circ C$	134	140	dB
			$T_A = -40^\circ C$ 至 $+125^\circ C$	120	140	
		$(V_-) + 3V < V_O < (V_+) - 3.5V$, $R_L = 2k\Omega$ (连接至 $1/2 V_S$)	$T_A = -40^\circ C$ 至 $+125^\circ C$		126	
			$T_A = -40^\circ C$ 至 $+125^\circ C$		126	
频率响应						
GBW	增益带宽积	$G = 1$		2.25		MHz
		$G = 10$		3		
		$G = 100$		3.75		
SR	压摆率	$G = \pm 1$, $V_O = 70V$ 阶跃		100		V/ μs
t_s	稳定时间	精度为 $\pm 0.01\%$, $G = -1$, $V_O = 10V$ 阶跃, $C_L = 100pF$		2		μs
	过载恢复	$G = -1$		115		ns
THD+N	总谐波失真 + 噪声	$G = +1$, $V_O = 70V_{PP}$, $f = 1kHz$	$R_L = 10k\Omega$		-102	dB
			$R_L = 2k\Omega$		-95	

5.5 电气特性 (续)

在 $V_S = 85V (\pm 42.5V)$ 、 $T_A = 25^\circ C$ 、 $R_L = 10k\Omega$ (连接至 $1/2 V_S$) 和 $V_{CM} = V_{OUT} = 1/2 V_S$ 时测得 (除非另有说明)

参数		测试条件	最小值	典型值	最大值	单位
输出						
V_O	距离电源轨的电压输出摆幅	空载		12	50	mV
		$R_L = 10k\Omega$ 至 $1/2 V_S$		100	435	
		$R_L = 2k\Omega$ 至 $1/2 V_S$		500	2.05	V
I_{SC}	输出电流			± 30		mA
C_{LOAD}	容性负载驱动			1		nF
Z_O	开环输出阻抗			550		Ω
电流限制						
电源						
I_Q	静态电流	$I_O = 0mA$		420	490	μA
			$T_A = -40^\circ C$ 至 $+125^\circ C$			
温度						
	过热关断	关断温度		185		$^\circ C$
		热迟滞		20		

6 详细说明

6.1 概述

OPAx596 是低功耗 ($420\ \mu\text{A}$)、高压摆率 ($100\text{V}/\mu\text{s}$)、85V 运算放大器。这些运算放大器采用专有设计技术，能够以极低的功耗实现非常高的压摆能力。OPAx596 能够驱动 $\pm 30\text{mA}$ 的输出电流，并且可以在任一电源轨的 100mV 以内摆动。

这些放大器采用先进的 CMOS 技术并具有先进的设计特性，有助于实现出色的交流性能并支持小型封装选项。OPAx596 的优势还包括 3.75MHz 带宽、 $12.8\text{nV}/\sqrt{\text{Hz}}$ 噪声频谱密度和低输入偏置电流。这些特性使得 OPAx596 非常适合在数字可编程电源中增益或缓冲数模转换器 (DAC) 输出。

6.2 功能方框图

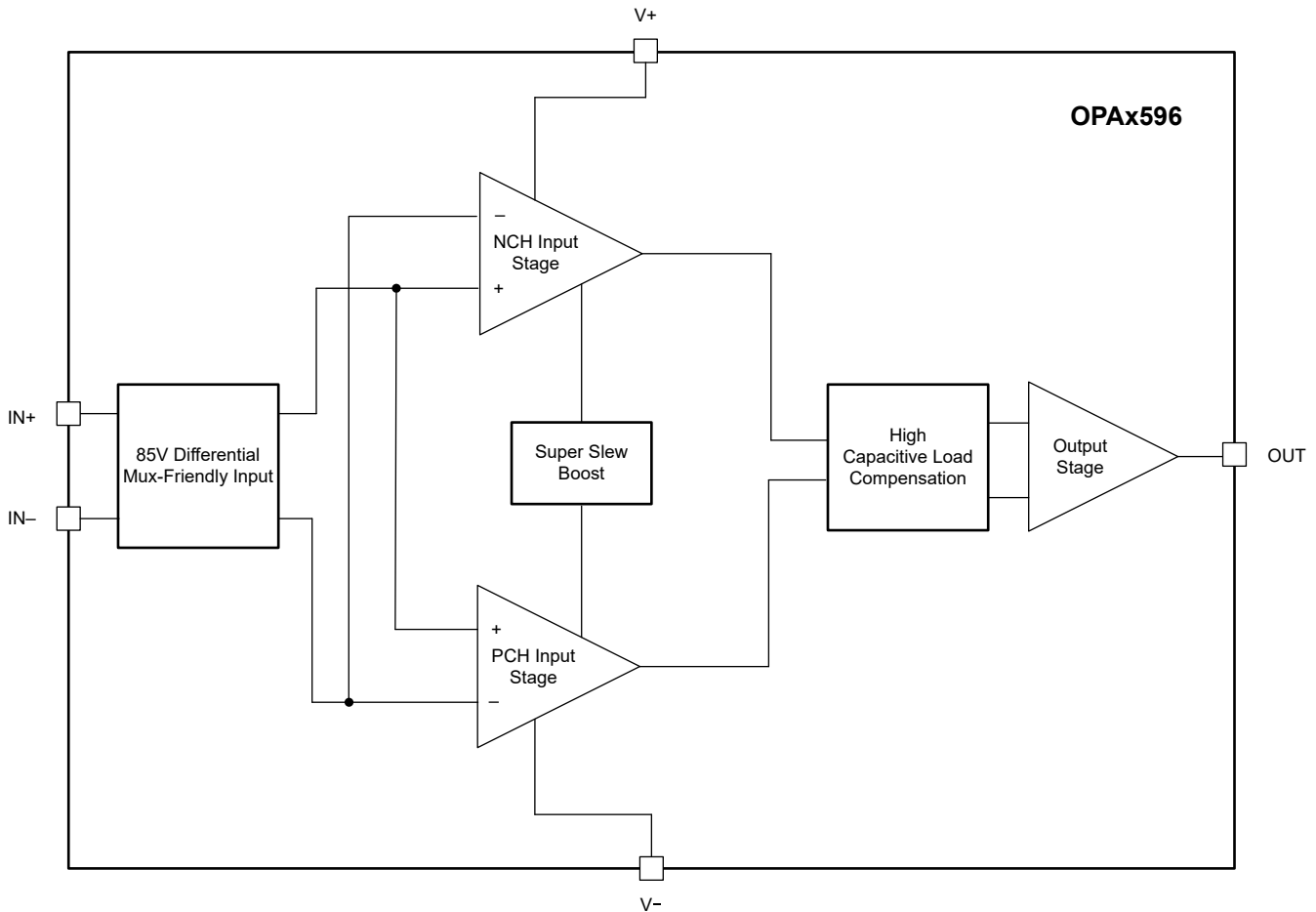


图 6-1. 功能方框图

6.3 特性说明

6.3.1 多路复用器友好型输入

OPAx596 使用独特的输入架构来消除对输入保护二极管的需求，但在瞬态情形下仍能提供可靠的输入保护。可以通过快速瞬态阶跃响应来激活图 6-2 中所示的常规输入二极管保护方案，但由于交流电路径，这将引入信号失真和稳定时间延迟，如图 6-3 所示。对于低增益电路，这些快速斜向输入信号对背对背二极管进行正向偏置，这会导致输入电流增加，进而使稳定时间延长。

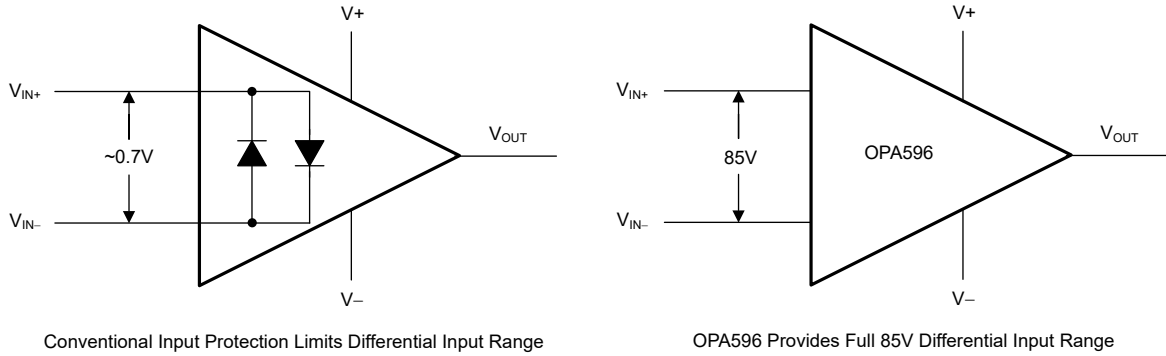


图 6-2. OPA596 输入保护不限制差分输入能力

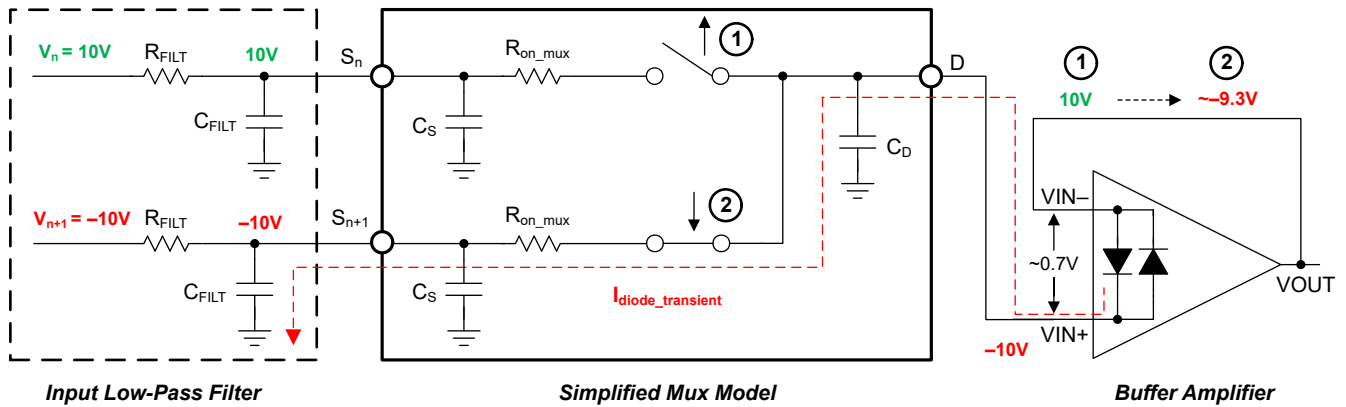


图 6-3. 背对背二极管造成稳定问题

OPAx596 为高压应用提供真正的高阻抗差分输入能力。这种获得专利的输入保护架构不会引入额外的信号失真或延迟稳定时间，使这些器件非常适用于多通道、高开关输入应用。OPAx596 可以承受高达 85V 的最大差分摆幅（运算放大器的反相和同相引脚之间的电压），适合用作比较器，或用于具有快速斜向或开关输入信号的应用。

6.3.2 热保护

OPAx596 具有热保护功能，可防止自发热造成损坏。当结温 (T_J) 达到大约 180°C 时，运算放大器输出级被禁用。该热保护通过监测输出级的温度并关闭运算放大器输出驱动来工作。热保护强制输出进入高阻抗状态。OPAx596 被设计为具有大约 30°C 的热迟滞，当输出级温度低于大约 150°C 时恢复正常运行。

过热保护并非设计用于防止器件超出绝对最大额定值，而是防止器件超出热过载。

6.3.3 压摆增强

压摆率是输出电压相对于时间的最大变化率，其单位通常为伏特/微秒 ($\text{V}/\mu\text{s}$)。当在输入端施加较大且快速移动的信号时，OPAx596 会进入压摆状态。在压摆期间，运算放大器进入开环状态，并且可以在输出信号上看到明显的由压摆引起的失真。

方程式 1 显示运算放大器的压摆率通常由输入级的饱和电流 I_{SAT} 和补偿电容 C_C 决定。

$$SR = \frac{I_{\text{SAT}}}{C_C} \quad (1)$$

压摆率随运算放大器静态电流 I_Q 的增大而增大。设计人员可以通过几种方法来克服压摆率限制。例如，解补偿可通过降低 C_C 来提高压摆率，但以牺牲稳定性为代价。更常见的是，现代运算放大器采用了压摆增强技术，该技术通过增大 I_{SAT} 来克服固有的压摆率限制。压摆增强电路的实现方式可能各不相同，但设计人员通常可以预计这些电路相对于同类非增强运算放大器能够将压摆率提高 4 倍。

OPAx596 使用专有设计来实现出色的压摆率与 I_Q 之比。与同类非增强运算放大器相比，OPAx596 中全新的压摆增强技术将压摆率提高了近 100 倍。

6.3.4 过载恢复

过载恢复的定义是运算放大器输出从饱和状态恢复到线性状态所需的时间。当输出电压由于高输入电压或高增益而超过额定工作电压时，运算放大器的输出器件进入饱和区。器件进入饱和区后，输出器件中的电荷载体需要时间返回到线性状态。当电荷载体返回到线性状态时，器件开始以指定的压摆率进行转换。因此，过载时的传播延迟等于过载恢复时间与转换时间的总和。

6.4 器件功能模式

OPAx596 具有单一功能模式，可在电源电压介于 $8\text{V} (\pm 4\text{V})$ 和 $85\text{V} (\pm 42.5\text{V})$ 时正常工作。

7 应用和实施

备注

以下应用部分中的信息不属于 TI 器件规格的范围，TI 不担保其准确性和完整性。TI 的客户应负责确定器件是否适用于其应用。客户应验证并测试其设计，以确保系统功能。

7.1 应用信息

OPAx596 是低功耗 ($420 \mu\text{A}$)、高压摆率 ($100\text{V}/\mu\text{s}$)、 85V 功率运算放大器。这些运算放大器采用专有设计技术，能够以极低功耗实现非常高的压摆能力。低功耗有助于减少电路板上产生的热量，同时输出在电源轨附近摆动。在处理大峰值高频信号时，高压摆可减小输出端与压摆相关的失真。

7.2 典型应用

7.2.1 桥式连接压电式驱动器

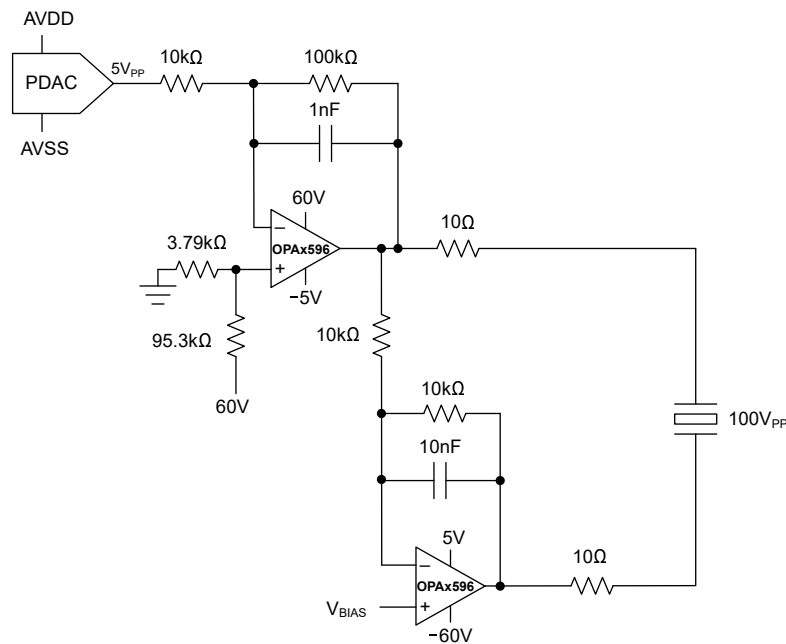


图 7-1. 具有桥式连接负载的 100V_{PP} 压电式驱动器

7.2.1.1 设计要求

OPAx596 用于驱动工作电压范围为 100V、频率为 100Hz 的压电式执行器。压电式执行器固有的大电容可能会导致驱动器放大器出现不必要的振铃。在某种程度上由于放大器不稳定，执行器的响应可能不准确。对于此处所示的压电式执行器，为了实现稳定可靠的驱动器电路，必须为 500nF 等效负载提供足够的相位裕度。

表 7-1. 设计参数

参数	值
正电源电压	60V
负电源电压	-5V
压电式执行器电容 (1kHz)	500nF
压电式工作电压范围	0V 至 100V
工作频率	100Hz
DAC 输出电压	5V _{PP}

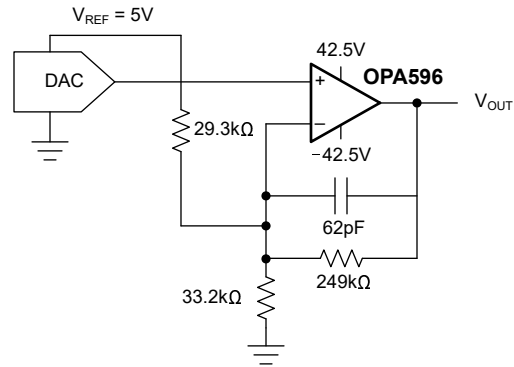
7.2.1.2 详细设计过程

与传统的螺线管执行器相比，压电式执行器具有许多优势。与螺线管执行器相比，压电式执行器通常更精确，更节能且更小。压电式执行器面临的一个挑战是压电式执行器需要在非常宽的电压范围内工作。超过 60V 的驱动电压并不罕见，可轻松达到数百伏。OPAx596 在高达 85V 的差分电压下运行。

在该设计示例中，OPAx596 用于提供 100V_{PP} 信号来控制高压压电式执行器（另请参阅图 7-1）。当工作频率低于谐振频率时，压电式执行器可以被建模为一个电容器。压电式执行器被视为由 OPAx596 的两个运算放大器驱动的悬空负载。运算放大器的输出被设置为 180° 异相，基本上是执行器负载电压的两倍。

OPAx596 对数模转换器的信号电压应用 10V/V 增益。简单的分压器提供 2.5V 基准，对输出进行电平转换，从而生成单极驱动电压。隔离电阻器可提高相位裕度和稳定性。在 OPAx596 的输出端添加一个较小的 10 Ω R_{ISO}。

7.2.2 DAC 输出增益和缓冲器



7.2.2.1 设计要求

OPAx596 设计用作具有增益的输出驱动器级，可提供宽范围双极电源电压。这些特性再加上 SOT23-5 封装的小尺寸和低功耗，使该器件非常适合高通道密度系统，例如存在多个通道的半导体测试和制造平台。在该设计示例中，OPAx596 配置为具有大约 17V/V 的增益。

表 7-2. 设计参数

参数	值
电源电压	-42.5V 至 +42.5V
输入电压	0V 至 5V
输出电压	-42.5V 至 +42.5V
增益	17V/V

7.2.2.2 详细设计过程

在该设计示例中，OPAx596 配置为增益级和输出驱动器。放大器的输入信号为 0V 至 5V，并且器件配置了 17V/V 的同相增益。5V 的 DAC 基准电压用作基准以启用双极输出摆幅。该配置可产生 -42.5V 至 +42.5V 的输出电压。该设计示例在许多使用 DAC 提供输入信号且需要宽输出信号和低输出电流的系统中很常见。OPAx596 可以摆动到任一电源轨，同时保持在额定热限值范围内。此类系统包括测试和测量平台以及电源。

7.2.3 单电源压电式驱动器

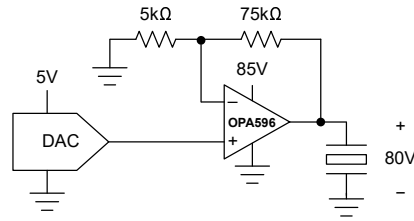


图 7-2. 80V 单电源压电式驱动器

7.2.4 高侧电流检测

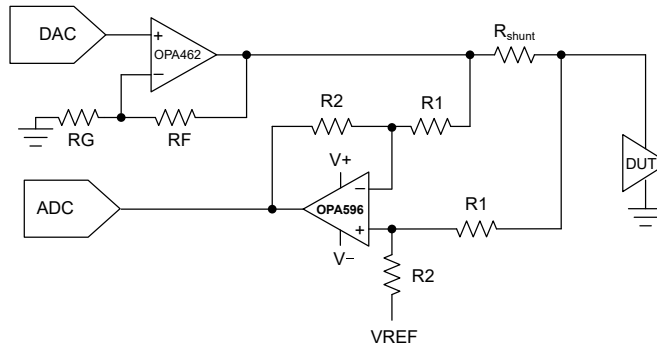


图 7-3. 100V 高侧电流检测

7.2.5 高压仪表放大器

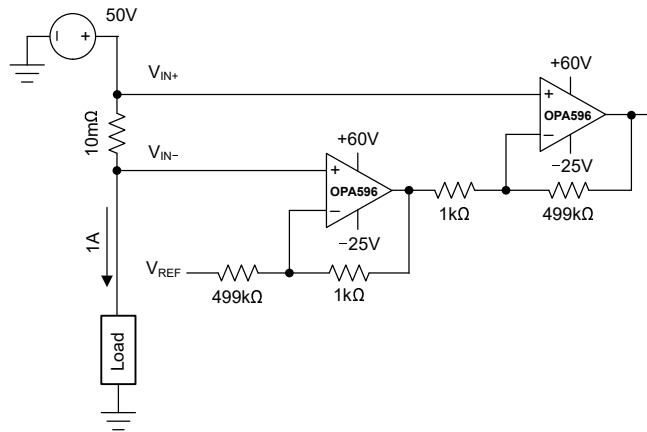


图 7-4. 高压仪表放大器

7.2.6 复合放大器

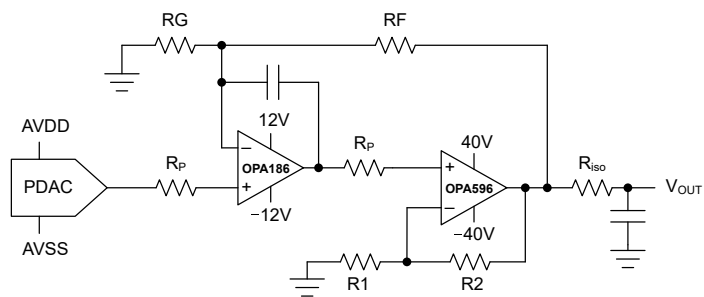


图 7-5. 高精度、高电压输出复合放大器

ADVANCE INFORMATION

7.3 电源相关建议

OPAx596 由高达 $\pm 42.5\text{V}$ (85V)、低至 $\pm 4\text{V}$ (8V) 的电源供电，同时提供出色的性能。大多数特性在整个工作电压范围内保持不变。为确保正常运行，需要使用至少 $0.1\mu\text{F}$ 的电源旁路电容器。确保电容器电压在整个工作温度范围内具有高电压额定值。有些应用不要求正负输出电压的摆幅相同。OPAx596 可以由非对称电源供电。

7.4 布局

7.4.1 布局指南

为了实现器件的卓越运行性能，请使用良好的 PCB 布局实践，包括以下指导原则：

- 噪声可通过运算放大器的电源引脚和整个电路的电源引脚传播到模拟电路中。在每个电源引脚和接地端之间连接低 ESR、 $0.1\mu\text{F}$ 陶瓷旁路电容器。将这些电容器放置在尽可能靠近器件的位置。对于单电源应用而言，从 V+ 到接地端的单个旁路电容器就足够了。
- 将电路中模拟和数字部分单独接地是最简单和最有效的噪声抑制方法之一。多层 PCB 上的一层或多层通常专门用于作为接地平面。接地层有助于散热和减少 EMI 噪声拾取。确保对数字接地和模拟接地进行物理隔离，同时应注意接地电流的流动。
- 为了减少寄生耦合，应让输入布线尽可能远离电源或输出布线。如果这些布线无法保持分离，则敏感布线与有噪声布线垂直相交比平行更好。
- 外部元件应尽量靠近器件放置。
- 尽可能缩短输入布线的长度。切记，输入布线是电路中最敏感的部分。
- 考虑在关键布线周围设定驱动型低阻抗保护环。这样可显著减少附近布线在不同电势下产生的漏电流。
- 在组装 PCB 板之后对其进行清洁，以获得最佳性能。
- 任何精密集成电路都可能因湿气渗入塑料封装中而出现性能变化。在执行任何 PCB 水清洁流程之后，建议将 PCB 组件烘干，以去除清洁时渗入器件封装中的水分。大多数情形下，清洁后在 85°C 下低温烘干 30 分钟即可。

7.4.1.1 散热注意事项

正常运行时，运算放大器会自发热。自发热是每个放大器中都会发生的芯片结温升高的自然现象。这种自发热是多个因素造成的，包括静态功耗、封装热阻、PCB 布局布线和器件工作条件。

在额定结温 T_J 范围内运行 OPAx596，避免热关断。使用 [方程式 2](#) 来确定估算的 T_J

$$T_J = P_D \times \theta_{JA} + T_A \quad (2)$$

在静态状态下， P_D 是电源电压和运算放大器静态电流的乘积。[方程式 3](#) 显示了在使用 85V 电源且工作温度为 25°C 时 OPAx596 的 T_J 计算。

$$T_J = (85V \times 490\mu A) \times 165.4 \frac{^\circ C}{W} + 25^\circ C \quad (3)$$

$$T_J = 31.89^\circ C \quad (4)$$

OPAx596 具有低功耗，即使采用小型 SOT23-5 封装也可以实现极低的自发热，如 [方程式 4](#) 所示。在负载条件下， P_D 等于静态功率 P_{DQ} 与输出级耗散的功率 P_{DL} 之和。最坏情况是输出电压等于任一电源轨的 $\frac{1}{2}$ (假设采用对称电源 $V+$ 和 $V-$)。在最坏情况下， P_{DL} 由 [方程式 5](#) 给出。

$$P_{DL} = \frac{(V+)^2}{4 \times R_L} \quad (5)$$

例如，假设 OPAx596 由双极 $\pm 42.5V$ 电源供电并驱动 $5k\Omega$ 接地负载 R_L 。 T_J 的最大增量预计约为 $22^\circ C$ ，如 [方程式 6](#) 所示。在本例中，为了使运算放大器保持在 *绝对最大额定值* 范围内，请在 T_A 远低于 $128^\circ C$ 的情况下运行，以应对不同因素的影响。

$$\Delta T_J = (41.7mW + 90.3mW) \times 165.4 \frac{^\circ C}{W} \quad (6)$$

7.4.2 布局示例

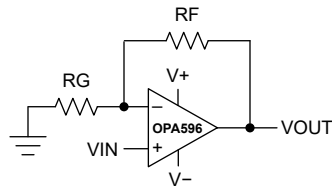


图 7-6. 同相配置的原理图表示

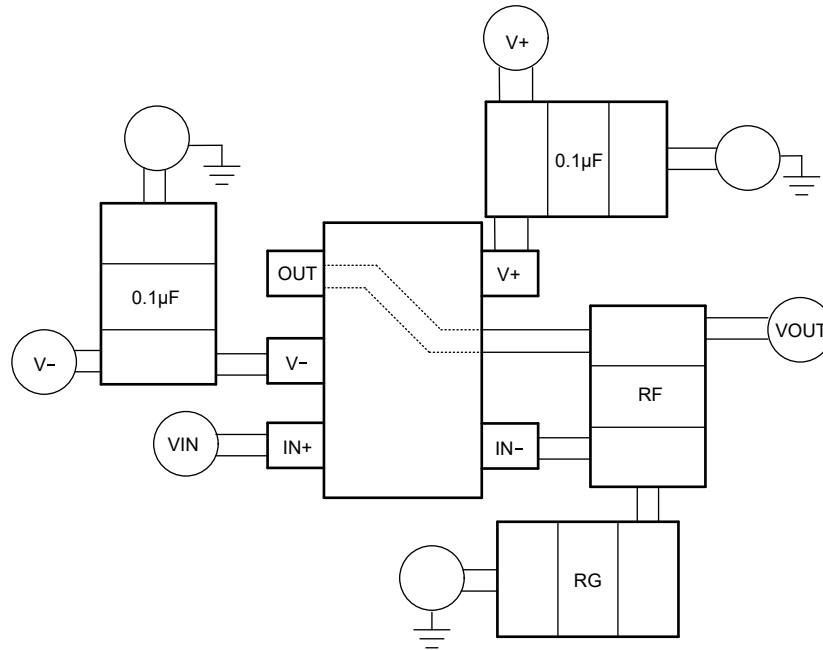


图 7-7. SOT23-5 封装同相配置的电路板布局布线

8 器件和文档支持

TI 提供广泛的开发工具。下面列出了用于评估器件性能、生成代码和开发解决方案的工具和软件。

8.1 接收文档更新通知

要接收文档更新通知，请导航至 [ti.com](https://www.ti.com) 上的器件产品文件夹。点击 [通知](#) 进行注册，即可每周接收产品信息更改摘要。有关更改的详细信息，请查看任何已修订文档中包含的修订历史记录。

8.2 支持资源

[TI E2E™ 中文支持论坛](#) 是工程师的重要参考资料，可直接从专家处获得快速、经过验证的解答和设计帮助。搜索现有解答或提出自己的问题，获得所需的快速设计帮助。

链接的内容由各个贡献者“按原样”提供。这些内容并不构成 TI 技术规范，并且不一定反映 TI 的观点；请参阅 TI 的 [使用条款](#)。

8.3 商标

TI E2E™ is a trademark of Texas Instruments.

所有商标均为其各自所有者的财产。

8.4 静电放电警告



静电放电 (ESD) 会损坏这个集成电路。德州仪器 (TI) 建议通过适当的预防措施处理所有集成电路。如果不遵守正确的处理和安装程序，可能会损坏集成电路。

ESD 的损坏小至导致微小的性能降级，大至整个器件故障。精密的集成电路可能更容易受到损坏，这是因为非常细微的参数更改都可能会导致器件与其发布的规格不相符。

8.5 术语表

TI 术语表

本术语表列出并解释了术语、首字母缩略词和定义。

9 修订历史记录

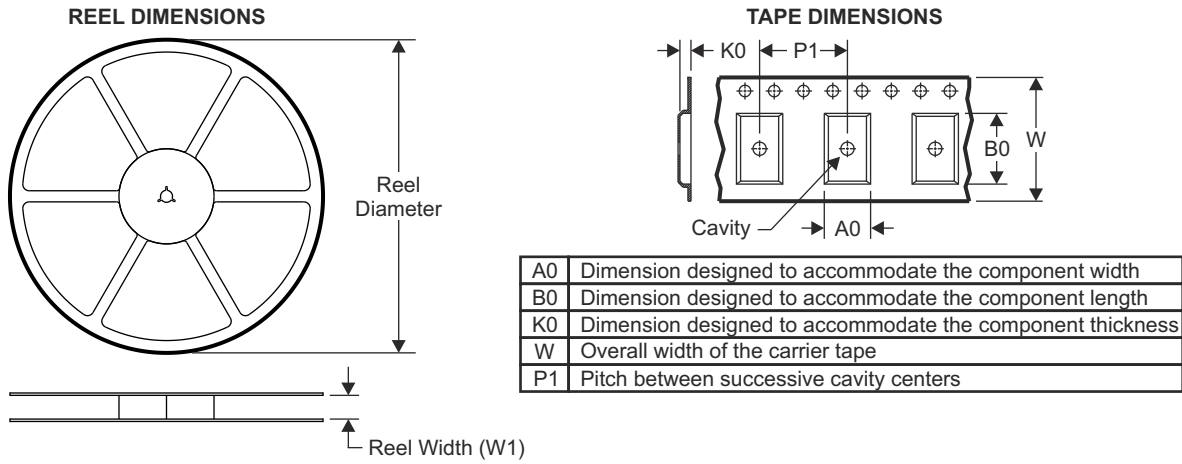
注：以前版本的页码可能与当前版本的页码不同

日期	修订版本	注释
June 2024	*	初始发行版

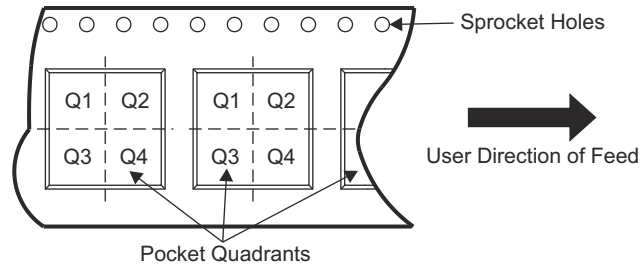
10 机械、封装和可订购信息

以下页面包含机械、封装和可订购信息。这些信息是指定器件可用的最新数据。数据如有变更，恕不另行通知，且不会对此文档进行修订。有关此数据表的浏览器版本，请查阅左侧的导航栏。

10.1 卷带包装信息

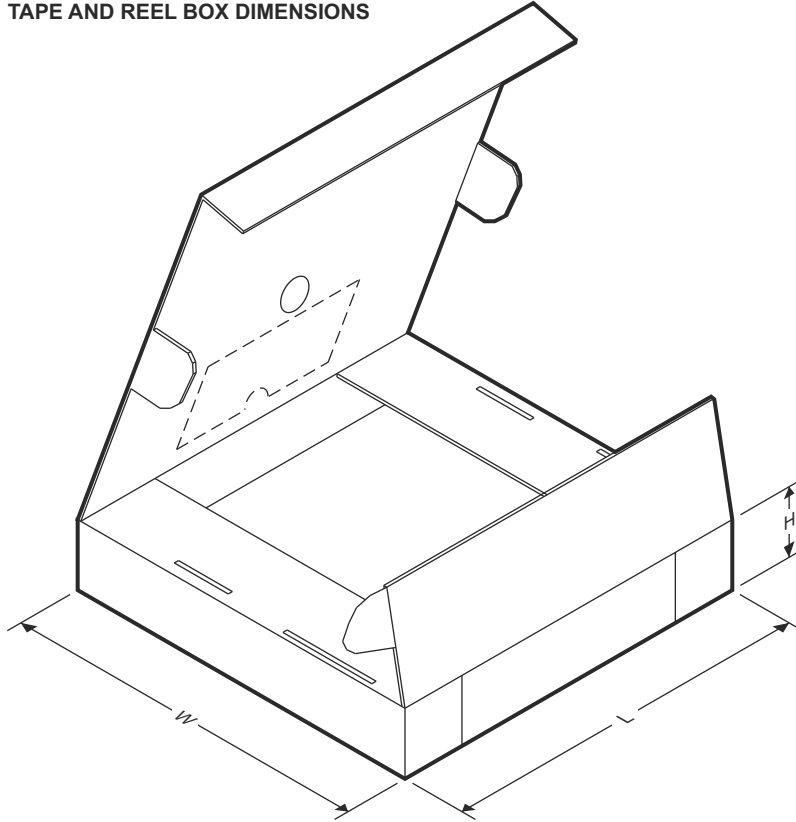


QUADRANT ASSIGNMENTS FOR PIN 1 ORIENTATION IN TAPE



器件	封装类型	封装图	引脚数	SPQ	卷带直径 (mm)	卷带宽度 W1 (mm)	A0 (mm)	B0 (mm)	K0 (mm)	P1 (mm)	W (mm)	Pin1 象限
OPA596DBVR	SOT-23	DBV	5	3000	180.0	8.4	3.23	3.17	1.37	4.0	8.0	Q3
OPA596DBVT	SOT-23	DBV	5	250	180.0	8.4	3.23	3.17	1.37	4.0	8.0	Q3

TAPE AND REEL BOX DIMENSIONS



ADVANCE INFORMATION

器件	封装类型	封装图	引脚数	SPQ	长度 (mm)	宽度 (mm)	高度 (mm)
OPA596DBVR	SOT-23	DBV	5	3000	213.0	191.0	35.0
OPA596DBVT	SOT-23	DBV	5	250	223.0	270.0	35.0

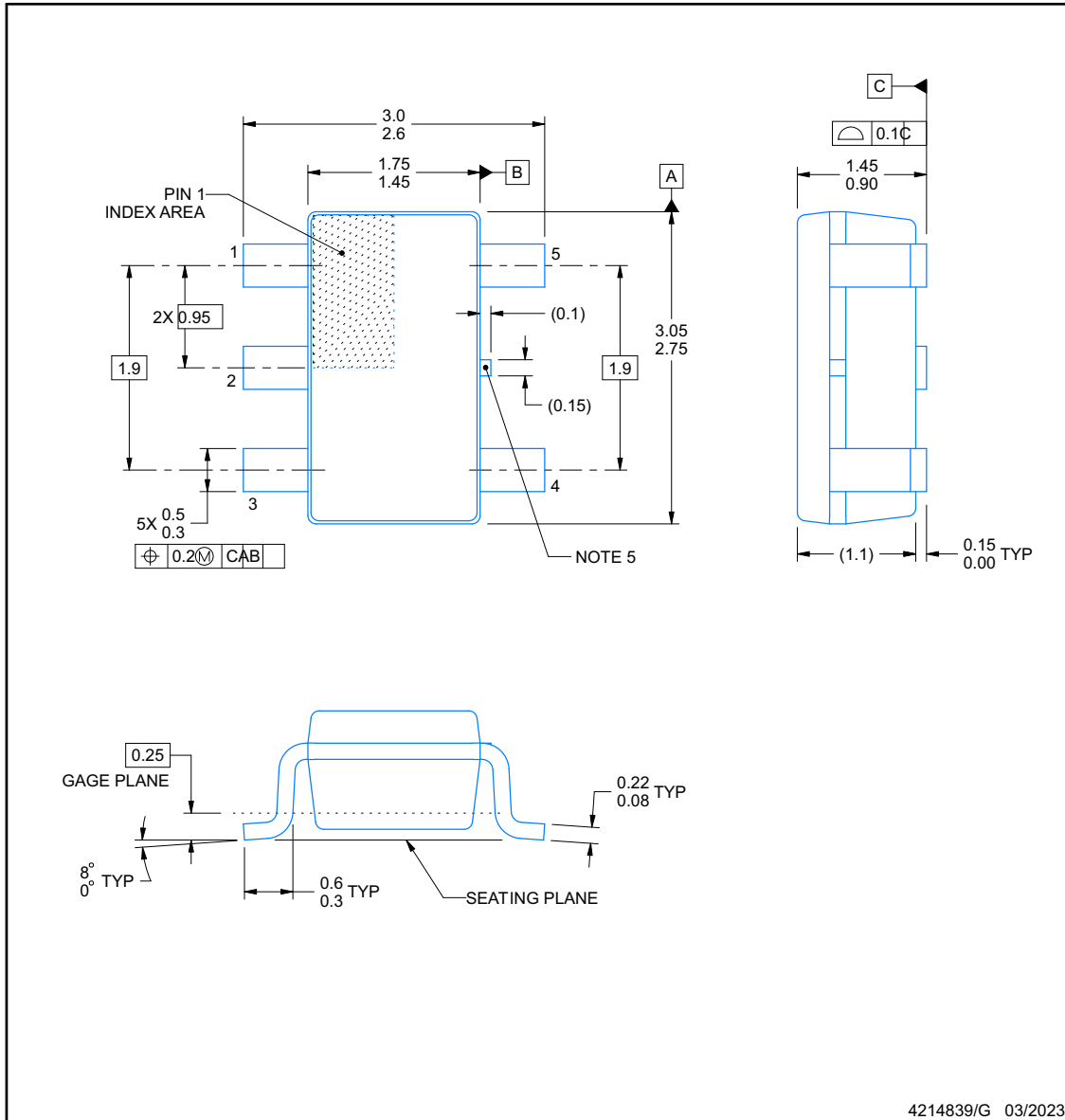


DBV0005A

PACKAGE OUTLINE

SOT-23 - 1.45 mm max height

SMALL OUTLINE TRANSISTOR



NOTES:

1. All linear dimensions are in millimeters. Any dimensions in parenthesis are for reference only. Dimensioning and tolerancing per ASME Y14.5M.
2. This drawing is subject to change without notice.
3. Reference JEDEC MO-178.
4. Body dimensions do not include mold flash, protrusions, or gate burrs. Mold flash, protrusions, or gate burrs shall not exceed 0.25 mm per side.
5. Support pin may differ or may not be present.

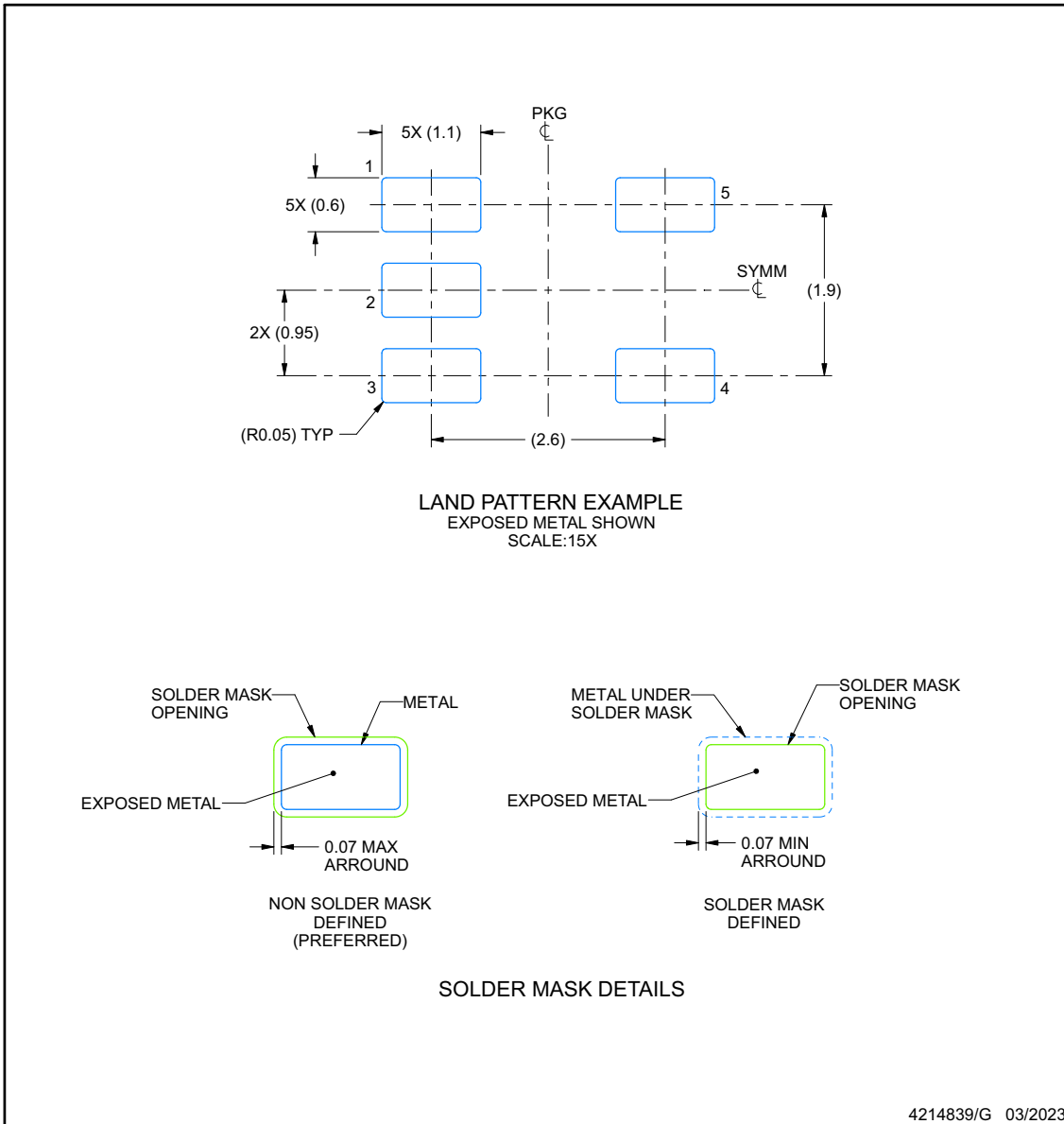
EXAMPLE BOARD LAYOUT

DBV0005A

SOT-23 - 1.45 mm max height

SMALL OUTLINE TRANSISTOR

ADVANCE INFORMATION



NOTES: (continued)

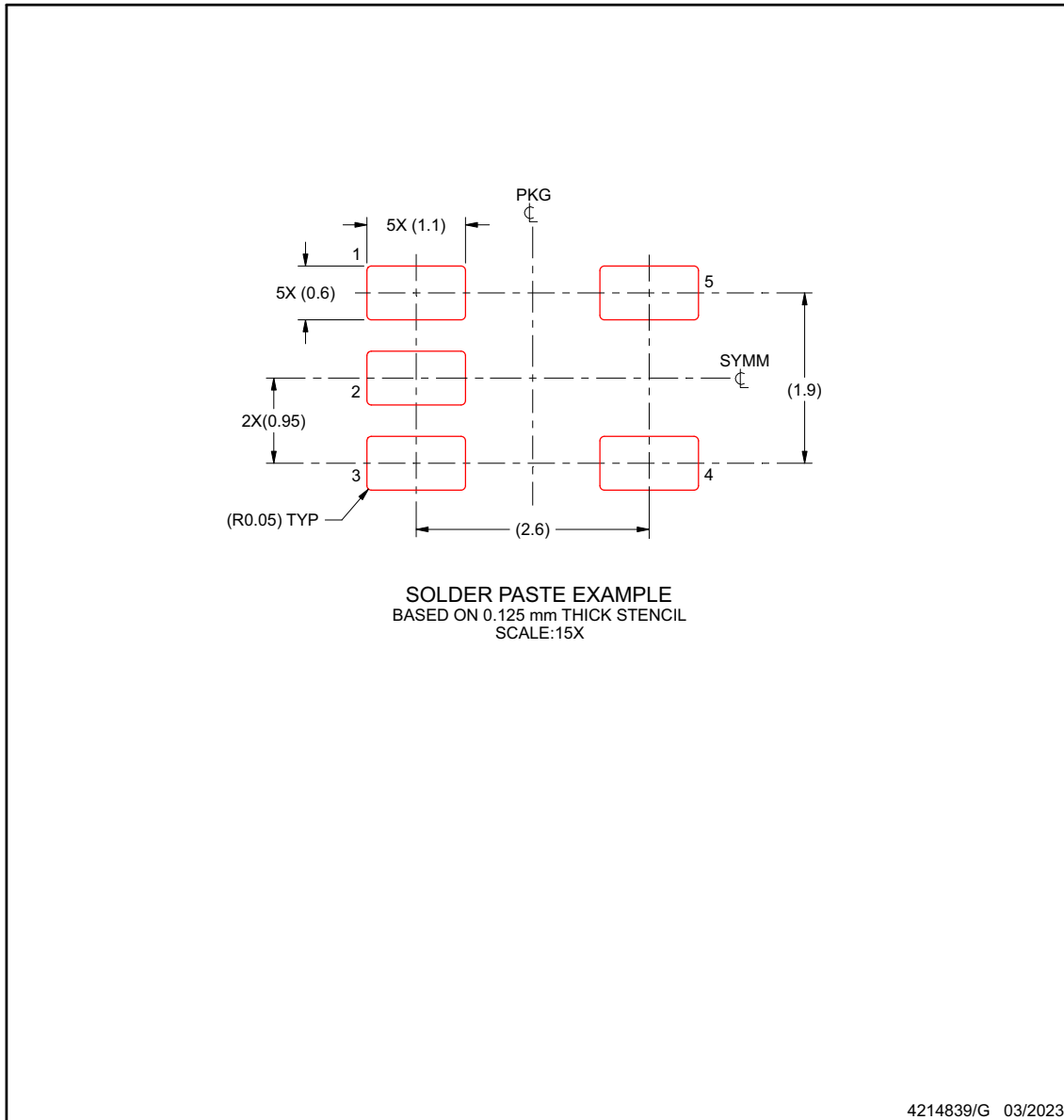
- 6. Publication IPC-7351 may have alternate designs.
- 7. Solder mask tolerances between and around signal pads can vary based on board fabrication site.

EXAMPLE STENCIL DESIGN

DBV0005A

SOT-23 - 1.45 mm max height

SMALL OUTLINE TRANSISTOR



NOTES: (continued)

- 8. Laser cutting apertures with trapezoidal walls and rounded corners may offer better paste release. IPC-7525 may have alternate design recommendations.
- 9. Board assembly site may have different recommendations for stencil design.

PACKAGING INFORMATION

Orderable Device	Status (1)	Package Type	Package Drawing	Pins	Package Qty	Eco Plan (2)	Lead finish/ Ball material (6)	MSL Peak Temp (3)	Op Temp (°C)	Device Marking (4/5)	Samples
POPA596DBVR	ACTIVE	SOT-23	DBV	5	3000	TBD	Call TI	Call TI	-40 to 125		Samples

(1) The marketing status values are defined as follows:

ACTIVE: Product device recommended for new designs.

LIFEBUY: TI has announced that the device will be discontinued, and a lifetime-buy period is in effect.

NRND: Not recommended for new designs. Device is in production to support existing customers, but TI does not recommend using this part in a new design.

PREVIEW: Device has been announced but is not in production. Samples may or may not be available.

OBSELETE: TI has discontinued the production of the device.

(2) **RoHS:** TI defines "RoHS" to mean semiconductor products that are compliant with the current EU RoHS requirements for all 10 RoHS substances, including the requirement that RoHS substance do not exceed 0.1% by weight in homogeneous materials. Where designed to be soldered at high temperatures, "RoHS" products are suitable for use in specified lead-free processes. TI may reference these types of products as "Pb-Free".

RoHS Exempt: TI defines "RoHS Exempt" to mean products that contain lead but are compliant with EU RoHS pursuant to a specific EU RoHS exemption.

Green: TI defines "Green" to mean the content of Chlorine (Cl) and Bromine (Br) based flame retardants meet JS709B low halogen requirements of <=1000ppm threshold. Antimony trioxide based flame retardants must also meet the <=1000ppm threshold requirement.

(3) MSL, Peak Temp. - The Moisture Sensitivity Level rating according to the JEDEC industry standard classifications, and peak solder temperature.

(4) There may be additional marking, which relates to the logo, the lot trace code information, or the environmental category on the device.

(5) Multiple Device Markings will be inside parentheses. Only one Device Marking contained in parentheses and separated by a "~" will appear on a device. If a line is indented then it is a continuation of the previous line and the two combined represent the entire Device Marking for that device.

(6) Lead finish/Ball material - Orderable Devices may have multiple material finish options. Finish options are separated by a vertical ruled line. Lead finish/Ball material values may wrap to two lines if the finish value exceeds the maximum column width.

Important Information and Disclaimer:The information provided on this page represents TI's knowledge and belief as of the date that it is provided. TI bases its knowledge and belief on information provided by third parties, and makes no representation or warranty as to the accuracy of such information. Efforts are underway to better integrate information from third parties. TI has taken and continues to take reasonable steps to provide representative and accurate information but may not have conducted destructive testing or chemical analysis on incoming materials and chemicals. TI and TI suppliers consider certain information to be proprietary, and thus CAS numbers and other limited information may not be available for release.

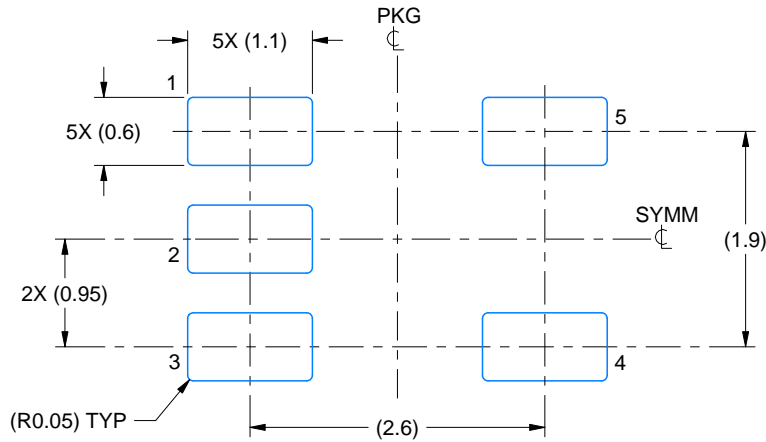
In no event shall TI's liability arising out of such information exceed the total purchase price of the TI part(s) at issue in this document sold by TI to Customer on an annual basis.

EXAMPLE BOARD LAYOUT

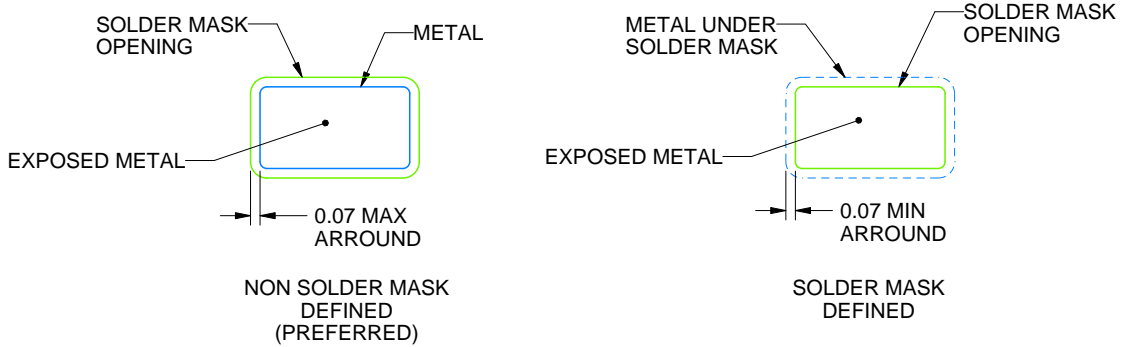
DBV0005A

SOT-23 - 1.45 mm max height

SMALL OUTLINE TRANSISTOR



LAND PATTERN EXAMPLE
EXPOSED METAL SHOWN
SCALE:15X



SOLDER MASK DETAILS

4214839/K 08/2024

NOTES: (continued)

- 6. Publication IPC-7351 may have alternate designs.
- 7. Solder mask tolerances between and around signal pads can vary based on board fabrication site.

EXAMPLE STENCIL DESIGN

DBV0005A

SOT-23 - 1.45 mm max height

SMALL OUTLINE TRANSISTOR



SOLDER PASTE EXAMPLE
BASED ON 0.125 mm THICK STENCIL
SCALE:15X

4214839/K 08/2024

NOTES: (continued)

8. Laser cutting apertures with trapezoidal walls and rounded corners may offer better paste release. IPC-7525 may have alternate design recommendations.
9. Board assembly site may have different recommendations for stencil design.

重要声明和免责声明

TI“按原样”提供技术和可靠性数据（包括数据表）、设计资源（包括参考设计）、应用或其他设计建议、网络工具、安全信息和其他资源，不保证没有瑕疵且不做任何明示或暗示的担保，包括但不限于对适销性、某特定用途方面的适用性或不侵犯任何第三方知识产权的暗示担保。

这些资源可供使用 TI 产品进行设计的熟练开发人员使用。您将自行承担以下全部责任：(1) 针对您的应用选择合适的 TI 产品，(2) 设计、验证并测试您的应用，(3) 确保您的应用满足相应标准以及任何其他功能安全、信息安全、监管或其他要求。

这些资源如有变更，恕不另行通知。TI 授权您仅可将这些资源用于研发本资源所述的 TI 产品的应用。严禁对这些资源进行其他复制或展示。您无权使用任何其他 TI 知识产权或任何第三方知识产权。您应全额赔偿因在这些资源的使用中对 TI 及其代表造成的任何索赔、损害、成本、损失和债务，TI 对此概不负责。

TI 提供的产品受 [TI 的销售条款](#) 或 [ti.com](#) 上其他适用条款/TI 产品随附的其他适用条款的约束。TI 提供这些资源并不会扩展或以其他方式更改 TI 针对 TI 产品发布的适用的担保或担保免责声明。

TI 反对并拒绝您可能提出的任何其他或不同的条款。

邮寄地址：Texas Instruments, Post Office Box 655303, Dallas, Texas 75265
Copyright © 2024，德州仪器 (TI) 公司